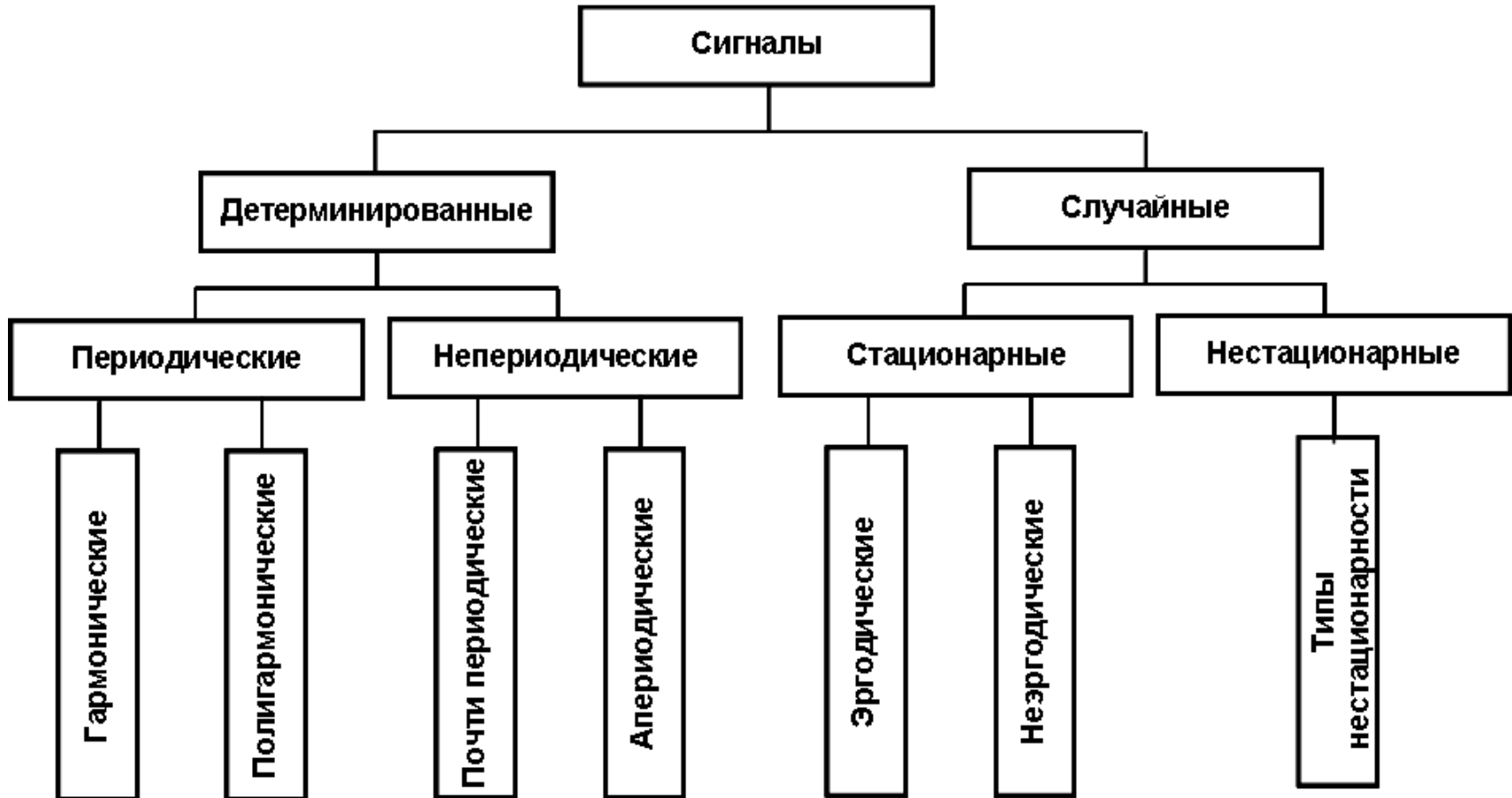


# Понятие математической модели сигнала

$$x = F(t, z, \omega, \dots A, B, C, \dots),$$

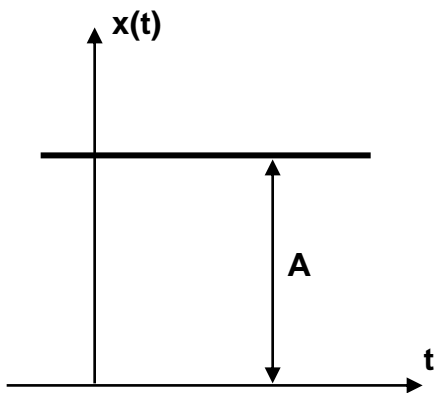


# Математические модели детерминированных сигналов

## Элементарные (тестовые) сигналы

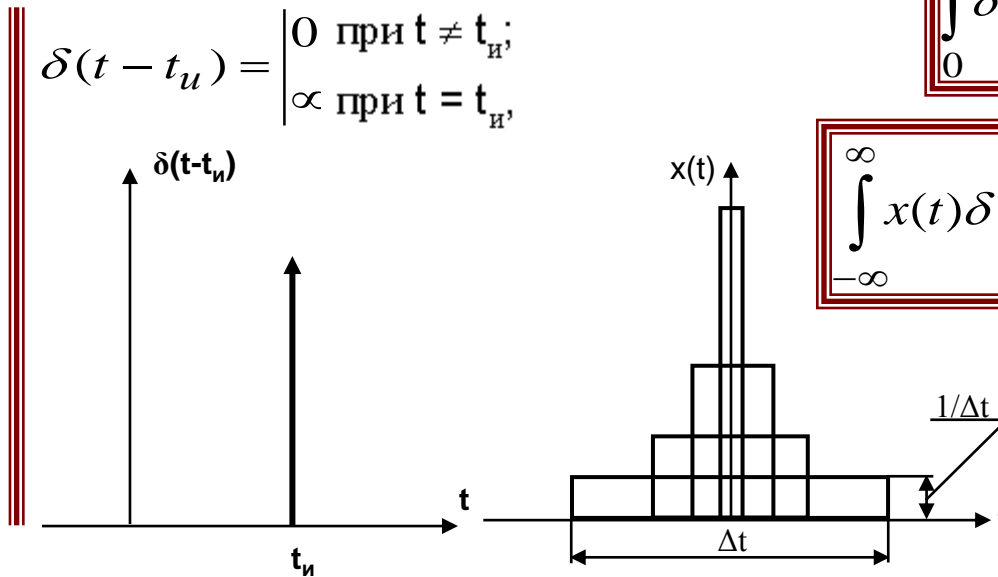
1. Постоянный сигнал:

$$x=A; A=\text{const}$$



2. Идеальный единичный импульс:

$$\delta(t - t_u) = \begin{cases} 0 & \text{при } t \neq t_u; \\ \infty & \text{при } t = t_u, \end{cases}$$

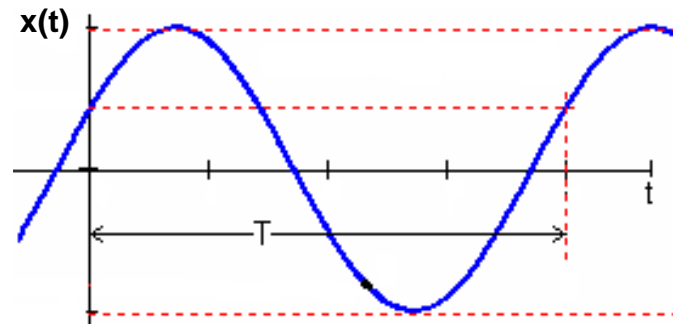


$$\int_0^t \delta(t - t_0) dt = 1$$

$$\int_{-\infty}^{\infty} x(t) \delta(t - t_u) dt = x(t_u)$$

3. Гармонический сигнал:

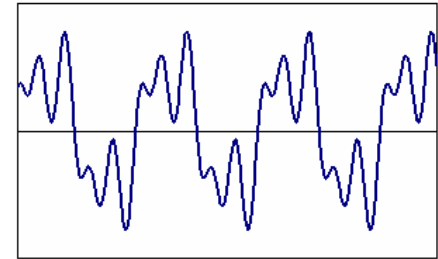
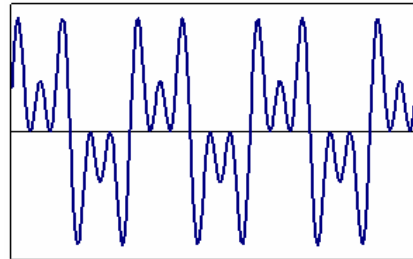
$$x = X_m \sin(\omega t + \varphi) = X_m \sin\left(\frac{2\pi t}{T} + \varphi\right)$$



# Сложные сигналы

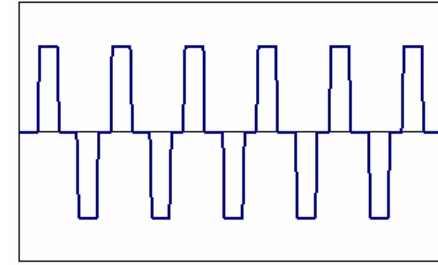
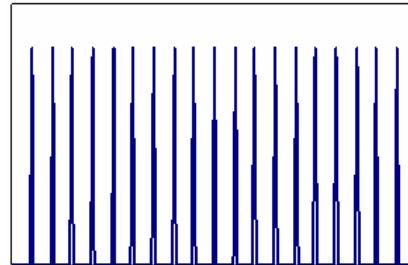
## 1. Периодические детерминированные сигналы

$$x(t) = x(t + kT)$$



Обобщенный ряд Фурье:

$$x(t) = \sum_{k=1}^N A_k \varphi_k(t)$$



Тригонометрический ряд Фурье:

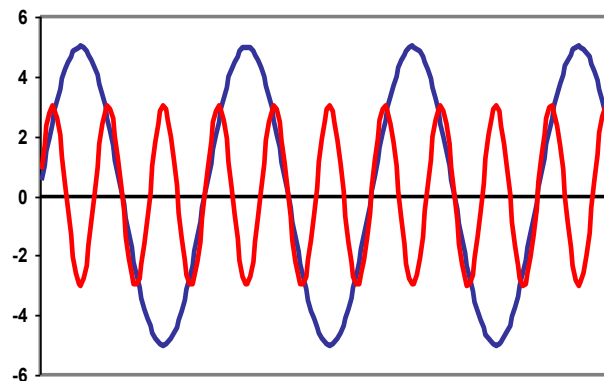
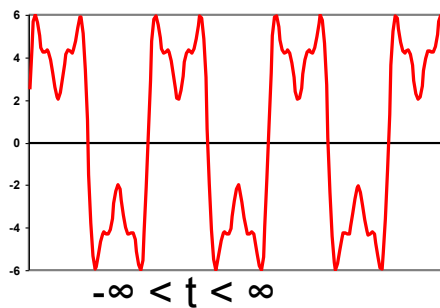
$$x(t) = a_0 + a_1 \cos \omega_0 t + b_1 \sin \omega_0 t + a_2 \cos 2 \omega_0 t + b_2 \sin 2 \omega_0 t + \dots + a_k \cos k \omega_0 t + b_k \sin k \omega_0 t$$

$$x(t) = a_0 + \sum_{k=1}^{\infty} (a_k \cos k \omega_0 t + b_k \sin k \omega_0 t)$$

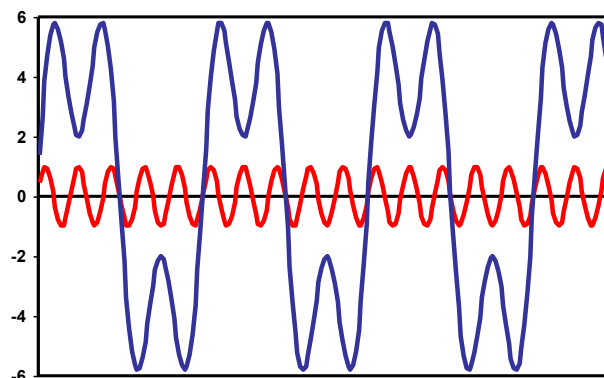
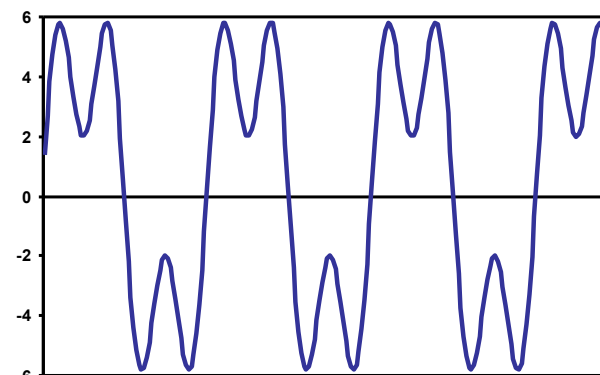
$$a_0 = \frac{1}{T} \int_{-T/2}^{T/2} x(t) dt \quad ; \quad a_k = \frac{2}{T} \int_{-T/2}^{T/2} x(t) \cos k \omega_0 t dt \quad ; \quad b_k = \frac{2}{T} \int_{-T/2}^{T/2} x(t) \sin k \omega_0 t dt$$

## Пример 1.

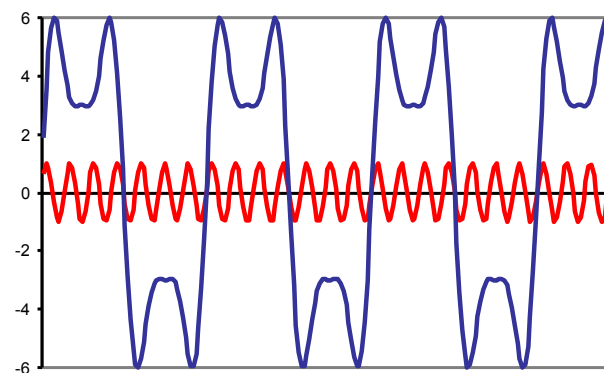
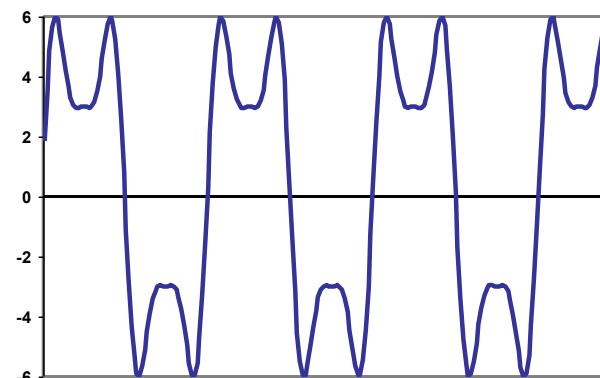
Синтезировать периодический полигармонический сигнал в виде суммы гармонических сигналов:



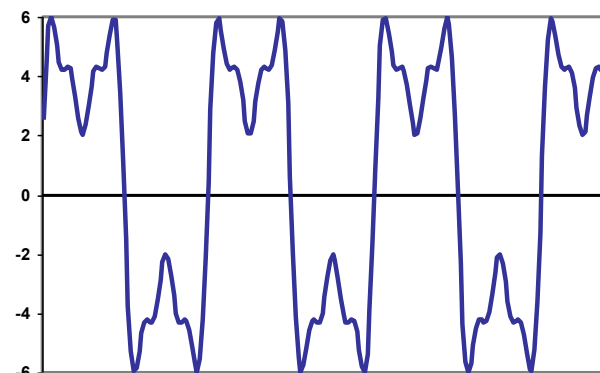
$$5\sin\omega t + 3\sin 3\omega t$$



$$5\sin\omega t + 3\sin 3\omega t + \sin 5\omega t$$

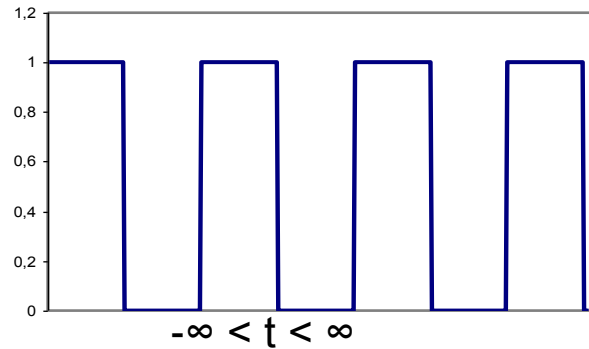


$$5\sin\omega t + 3\sin 3\omega t + \sin 5\omega t + \sin 7\omega t$$



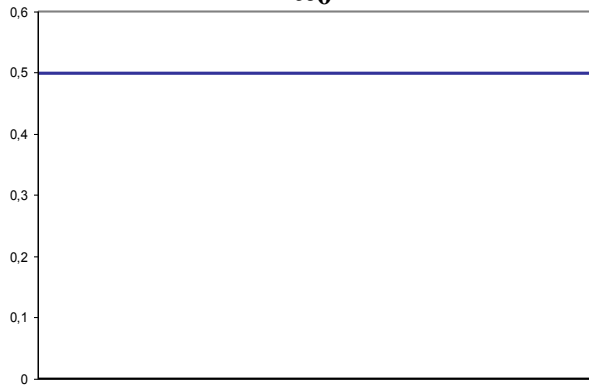
## Пример 2.

Синтезировать периодическую последовательность прямоугольных импульсов в виде суммы гармонических сигналов:

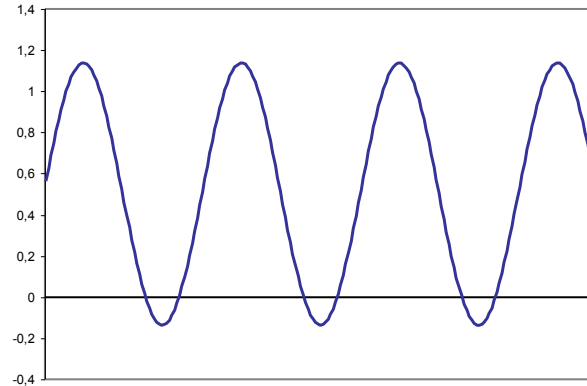


$$f(t) = \frac{\tau}{T} + \frac{2}{\pi} \sum_{n=1}^{\infty} \frac{1}{n} \sin \frac{n\omega\tau}{2} \cos n\omega t$$

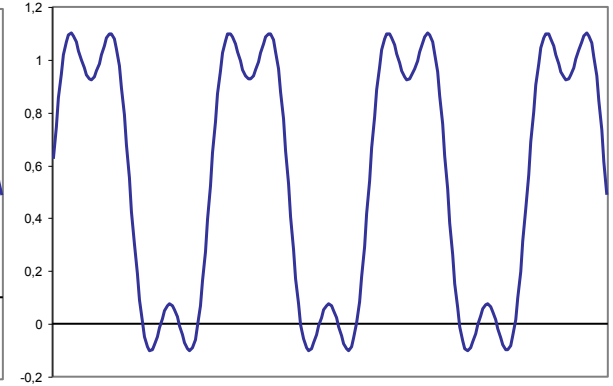
**a<sub>0</sub>**



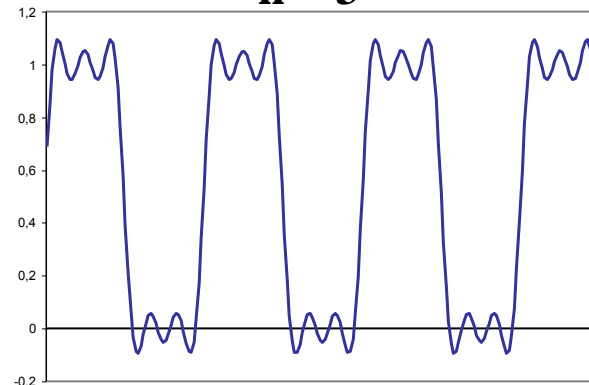
**n = 1**



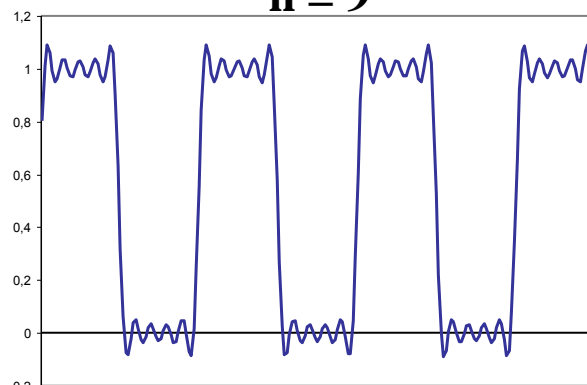
**n = 2**



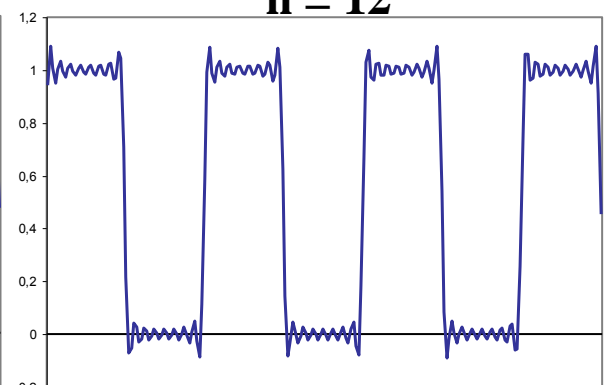
**n = 3**



**n = 9**

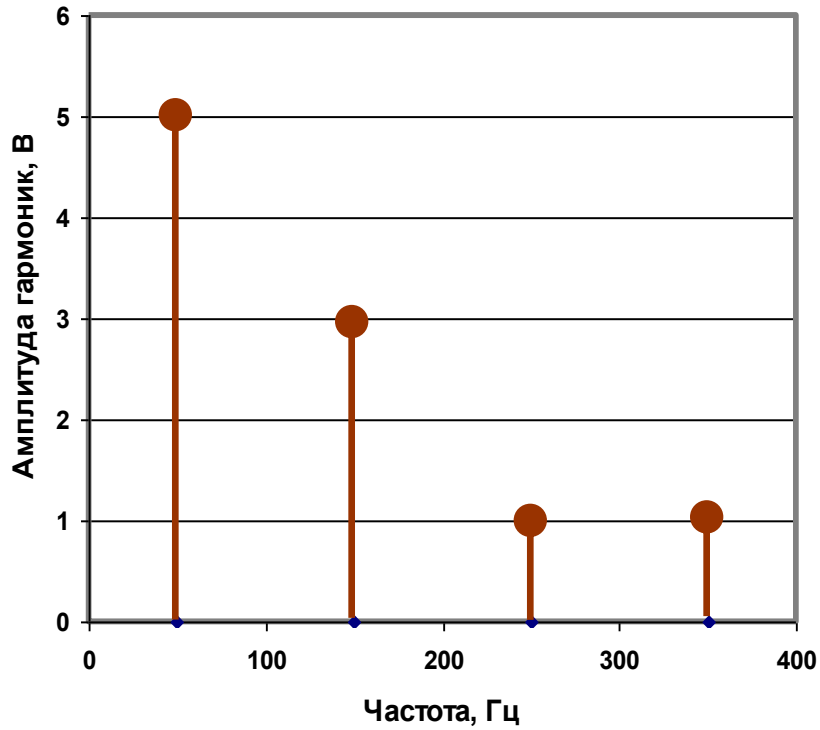


**n = 12**



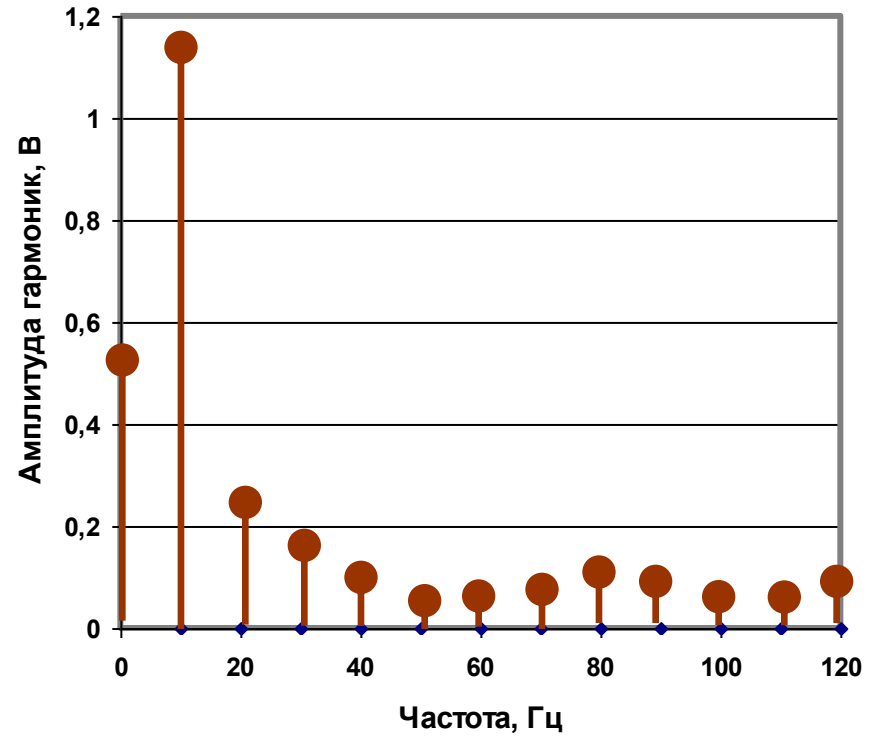
Спектр полигармонического  
периодического сигнала

$$\omega_0 = 50 \text{ Гц}$$



Спектр периодической  
последовательности  
прямоугольных импульсов

$$\omega_0 = 10 \text{ Гц}$$



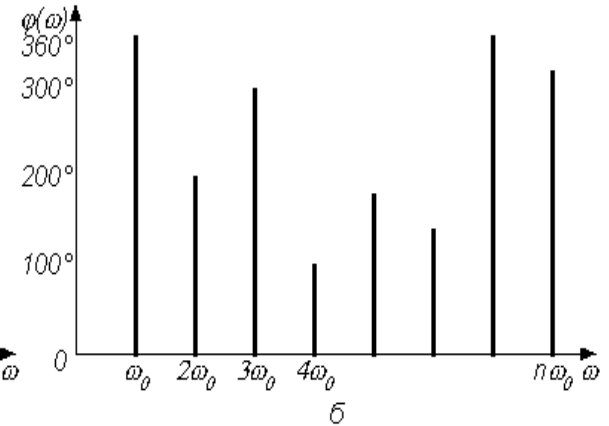
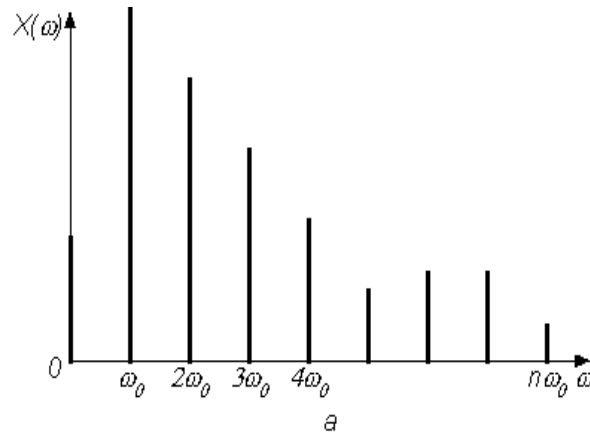
## Эквивалентные формы ряда Фурье:

1

$$A_k = \sqrt{a_k^2 + b_k^2}$$

$$\operatorname{tg} \psi_k = b_k / a_k$$

$$x(t) = \frac{a_0}{2} + \sum_{k=1}^{\infty} A_k \cos(k\omega_0 t - \psi_k)$$



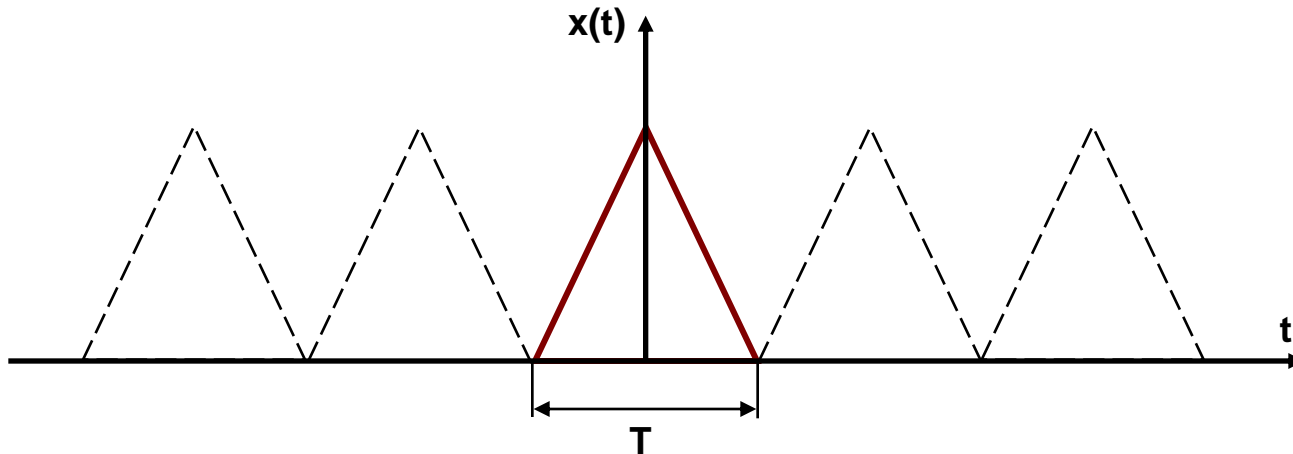
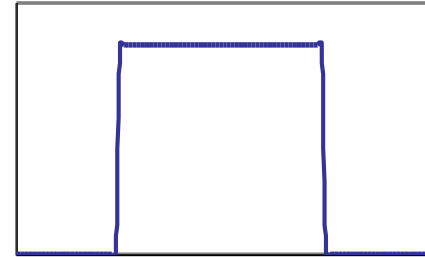
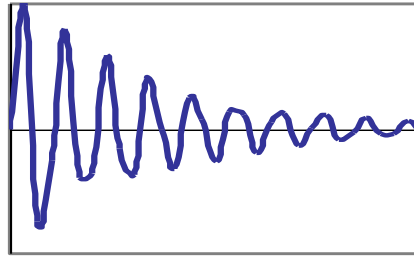
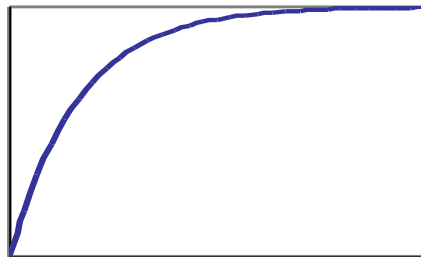
2

$$x(t) = C_1 e^{j\omega_0 t} + C_{-1} e^{-j\omega_0 t} + C_2 e^{2j\omega_0 t} + C_{-2} e^{-2j\omega_0 t} + \dots +$$

$$+ C_k e^{jk\omega_0 t} + C_{-k} e^{-jk\omega_0 t} + \dots = \sum_{k=0}^{\infty} C_k e^{j\omega_0 t};$$

$$C_k = \frac{1}{T} \int_{-T/2}^{T/2} x(t) e^{-jk\omega_0 t} dt$$

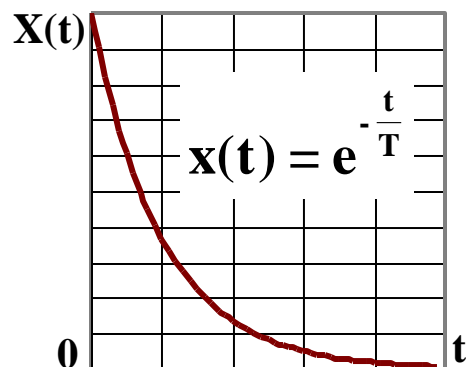
## 2. Непериодические детерминированные сигналы



$$x_{\text{пер}}(t) = \sum_{k=-\infty}^{\infty} c_k e^{jk\omega_0 t} \quad c_k = \frac{1}{T} \int_{-T/2}^{T/2} x(t) e^{-jk\omega_0 t} dt$$

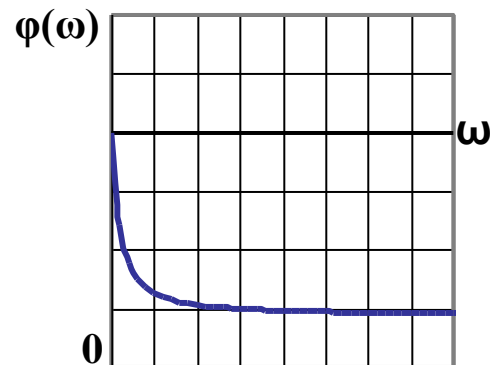
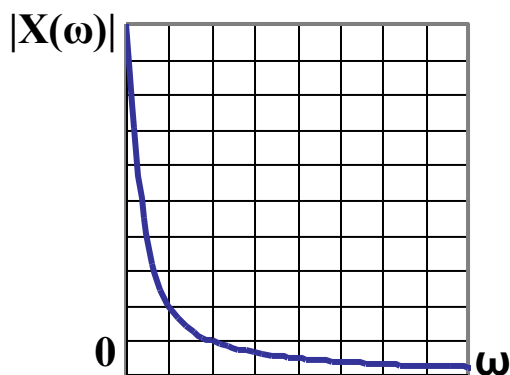
$$T \rightarrow \infty: \quad x(\omega) = \int_{-\infty}^{\infty} x(t) e^{-j\omega t} dt$$

## Спектральные характеристики экспоненциального сигнала

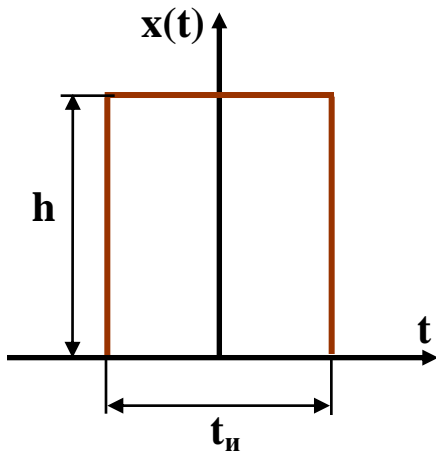


$$X(\omega) = \int_0^{\infty} e^{-\frac{t}{T}} e^{-j\omega t} dt = \int_0^{\infty} e^{-(\frac{1}{T} + j\omega)t} dt = \frac{e^{-(\frac{1}{T} + j\omega)t}}{\frac{1}{T} + j\omega} \Bigg|_0^{\infty} = \frac{T}{1 + j\omega T}$$

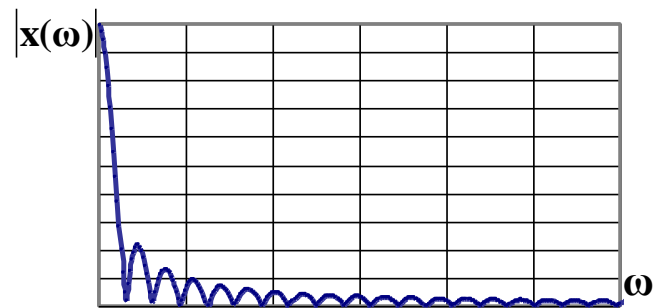
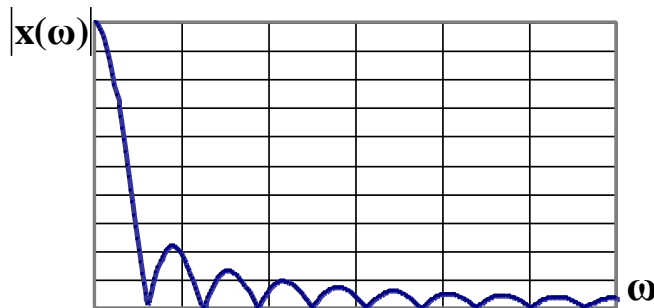
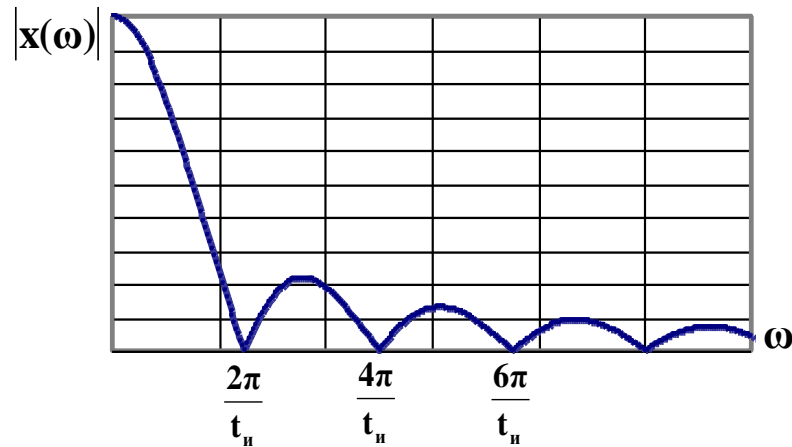
$$\begin{aligned} \text{Re}(\omega) &= \frac{T}{1 + \omega^2 T^2} & \text{Im}(\omega) &= -\frac{\omega T}{1 + \omega^2 T^2} \\ |X(\omega)| &= \frac{T}{\sqrt{1 + \omega^2 T^2}} & \varphi(\omega) &= -\omega T \end{aligned}$$



## Спектр прямоугольного импульса



$$x(\omega) = \int_{-\frac{t_u}{2}}^{\frac{t_u}{2}} h e^{-j\omega t} dt = -\frac{h}{j\omega} e^{-j\omega t} \Big|_{-\frac{t_u}{2}}^{\frac{t_u}{2}} = \frac{h}{j\omega} (-e^{-j\omega t} + e^{j\omega t}) = \frac{ht_u \sin(\omega \frac{t_u}{2})}{\omega \frac{t_u}{2}}$$

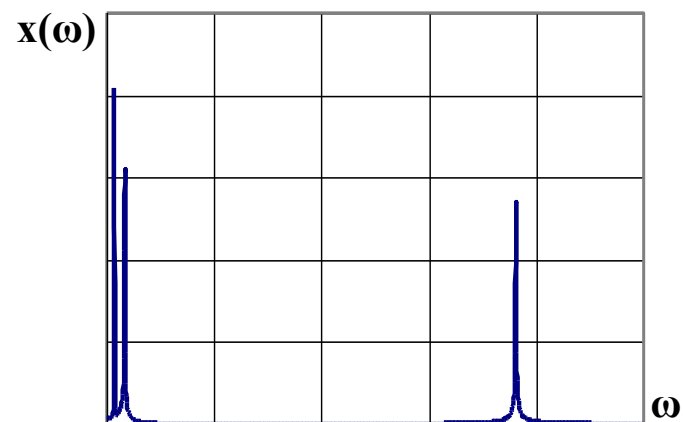
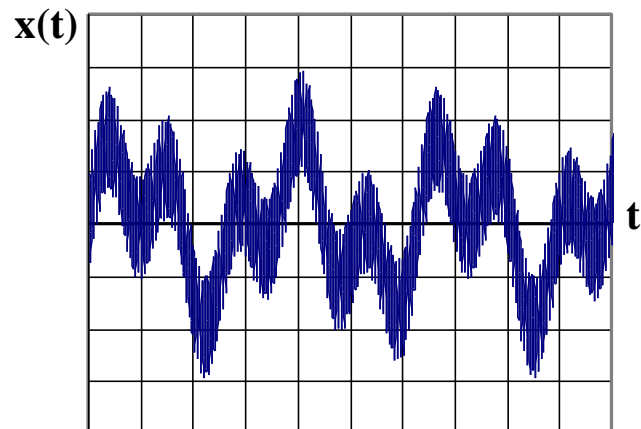
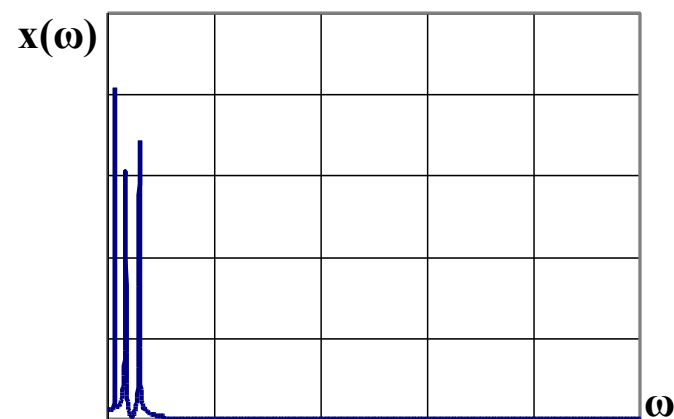
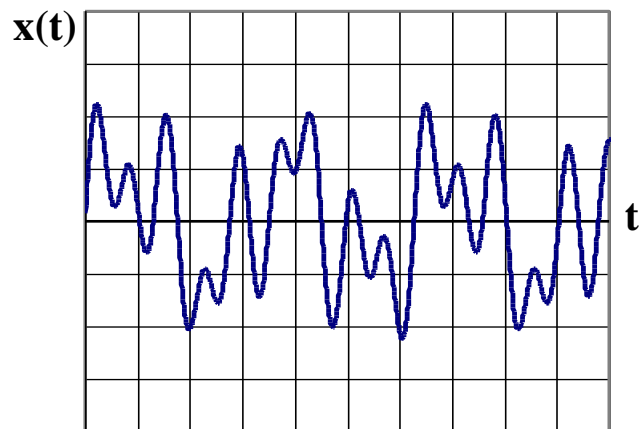




### 3. Почти периодические детерминированные сигналы

$$x(t) = \text{Sin}(2\omega t) + \text{Sin}(5\omega t) + \text{Sin}(9\omega t)$$

$$x(t) = \text{Sin}(2\omega t) + \text{Sin}(5\omega t) + \text{Sin}(\sqrt{81}\omega t)$$



# Свойства преобразования Фурье

1. Суммирование функций: 
$$\sum_{i=1}^n x_i(t) \leftrightarrow \sum_{i=1}^n x_i(\omega)$$

2. Смещение функции по аргументу: 
$$x(t + t_0) \leftrightarrow x(\omega)e^{j\omega t_0}$$

3. Изменение масштаба аргумента: 
$$x(at) \leftrightarrow \frac{1}{a} x\left(\frac{\omega}{a}\right)$$

4. Дифференцирование функции: 
$$\frac{dx(t)}{dt} \leftrightarrow j\omega x(\omega)$$

5. Интегрирование функции: 
$$\int x(t) \leftrightarrow \frac{x(\omega)}{j\omega}$$

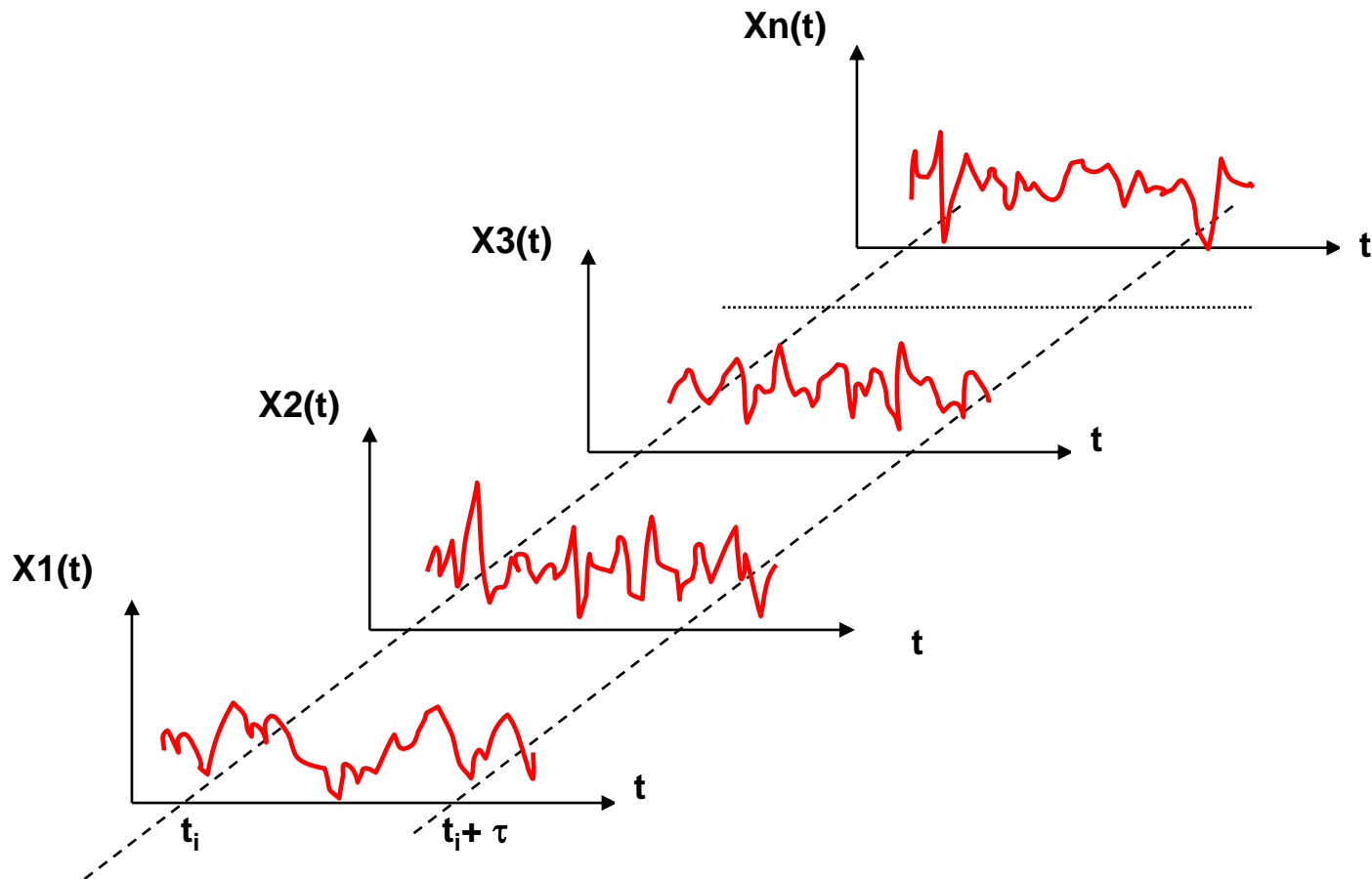
6. Свертка функций: 
$$(x * h)(t) = \int_{-\infty}^{+\infty} x(\tau)h(t - \tau)d\tau \quad (x * h)(t) \leftrightarrow x(\omega)h(\omega)$$

7. Обратимость: 
$$x(\omega) = \int_{-\infty}^{\infty} x(t)e^{-j\omega t} dt \quad x(t) = \int_{-\infty}^{\infty} x(\omega)e^{j\omega t} d\omega$$

# СЛУЧАЙНЫЕ ПРОЦЕССЫ

Случайным или стохастическим процессом называется изменение случайных величин и отображающих их сигналов **во времени**.

## Характеристики случайных процессов



**Выборочная функция случайного процесса  $X(t)$**  - единичная реализация случайного процесса на определенном временном интервале  $x_k(t)$  из  $n$  возможных реализаций, образующих **статистический ансамбль**.

**Полная статистическая характеристика случайного процесса** -  $n$ -мерная плотность вероятностей  $P(x_n; t_n)$ .

**Одномерное сечение случайного процесса  $X(t)$ :**

- совокупность значений всех реализаций случайного процесса в произвольный момент времени  $t_i$ ,
- совокупность значений  $k$ -той реализации случайного процесса за все время существования процесса.

**Математическое ожидание** случайного процесса по ансамблю реализаций в фиксированном сечении  $t_i$ :

$$\mu_x(t_i) = \lim_{N \rightarrow \infty} \frac{1}{N} \sum_{k=1}^N X_k(t_i)$$

где  $N$  – число выборочных функций.

**Функция дисперсии** случайного процесса - оценка среднего взвешенного значения разности:

$$D_x(t) = M\{[X_k(t) - \mu_x(t_i)]^2\}.$$





Если среднее  $\mu_x(t)$  и автокорреляционная функция  $R_{xx}(t_i, t_{i+\tau})$  не зависят от момента времени  $t_i$ , случайный процесс называется **стационарным**.

Стационарный процесс

Нестационарные процессы





**Процесс квантования связан с округлением значений непрерывного сигнала в соответствии с принятым решающим правилом:**

- отнесение к нижней границе уровня квантования,**
- отнесение верхней границе уровня квантования,**
- отнесение к середине уровня квантования**

$$q < \Delta x_{\text{КВ}} < 0$$

$$0 < \Delta x_{\text{КВ}} < +q$$

$$-0,5q < \Delta x_{\text{КВ}} < +0,5q$$

**Методическая погрешность квантования** образуется за счет отражения непрерывной величины ограниченным числом уровней и равна разности значения, соответствующего уровню квантования  $x_{\text{КВ}}$  и истинного значения сигнала  $x(t)$ :  $\Delta x_{\text{КВ}} = x_{\text{КВ}} - x(t)$ .











# **Практические способы восстановления непрерывного сигнала**

## **Аппроксимация рядом Котельникова**

**На практике реализовать полное восстановление сигнала без погрешностей с помощью ряда Котельникова невозможно.**

**Причины:**

**1. Экспериментальные сигналы всегда ограничены во времени, а следовательно, имеют бесконечные спектры; поэтому восстановление сигнала всегда происходит с определенной погрешностью из-за потери высокочастотной составляющей сигнала.**

**2. Идеальный sinc-фильтр физически нереализуем в силу бесконечного порядка передаточной функции и бесконечности ядра по времени в обе стороны (это накладывает ограничения на его реализацию как во временной области, так и в частотной).**

# **Фильтрация измерительных сигналов**

**Фильтрация** - выделение из сигнала его части, спектр которой лежит в определенной области частот.

## **Задачи фильтрации:**

- 1) выделение полезного сигнала на фоне помех,
- 2) частотный анализ.

## **Виды фильтрации**

**По виду преобразований:** аналоговая и цифровая.

**По расположению полос пропускания:**

фильтрация нижних частот,

фильтрация верхних частот,

полосовая фильтрация.

**По виду математического описания:** линейная и нелинейная.

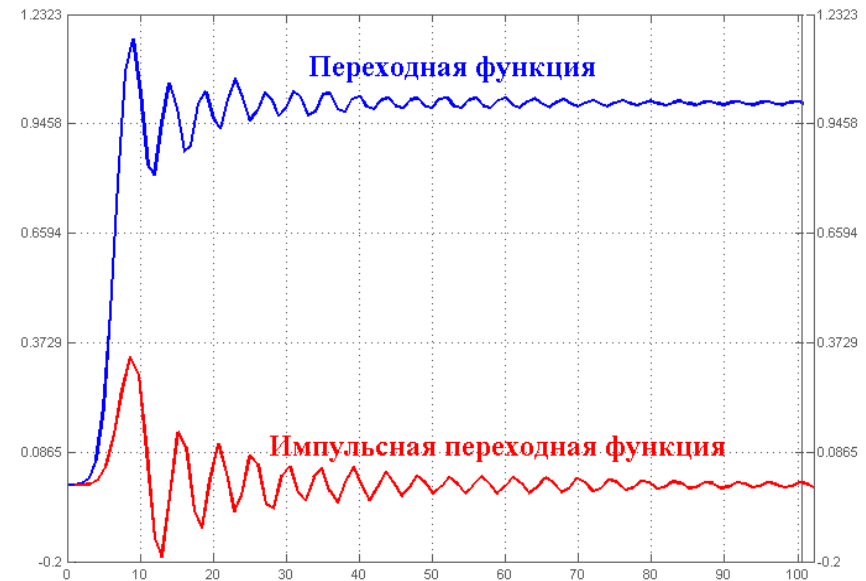








# Фильтры Чебышева



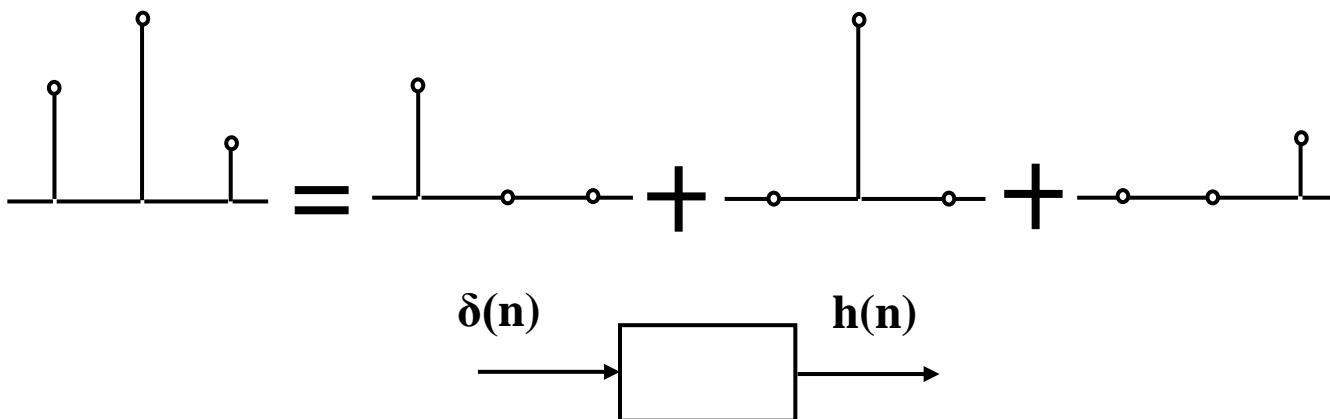
Преимущества	Недостатки
<p>Крутой переход из области пропускания к области затухания; АЧХ наиболее близко приближается к характеристике идеального фильтра.</p>	<p>Сильная волнистость АЧХ в области пропускания; сильно изменяющаяся фазовая характеристика в области пропускания; колебания с чрезмерной амплитудой и более продолжительное время установления колебаний по переходной характеристике.</p>





# Основные теоретические понятия

Цифровая дельта-функция (функция Кронекера):



Отклик системы на  $\delta[n] \rightarrow h[n]$ :

$h[n]$ - импульсная характеристика

# Вычисление выходного сигнала линейной системы по входному сигналу и импульсной характеристике системы:

$x[n]$

$x[n-1]*\delta[-1]$

$x[n-1]*h[1]$

$x[n-0]*\delta[0]$

$x[n-0]*h[0]$

$x[n+1]*\delta[1]$

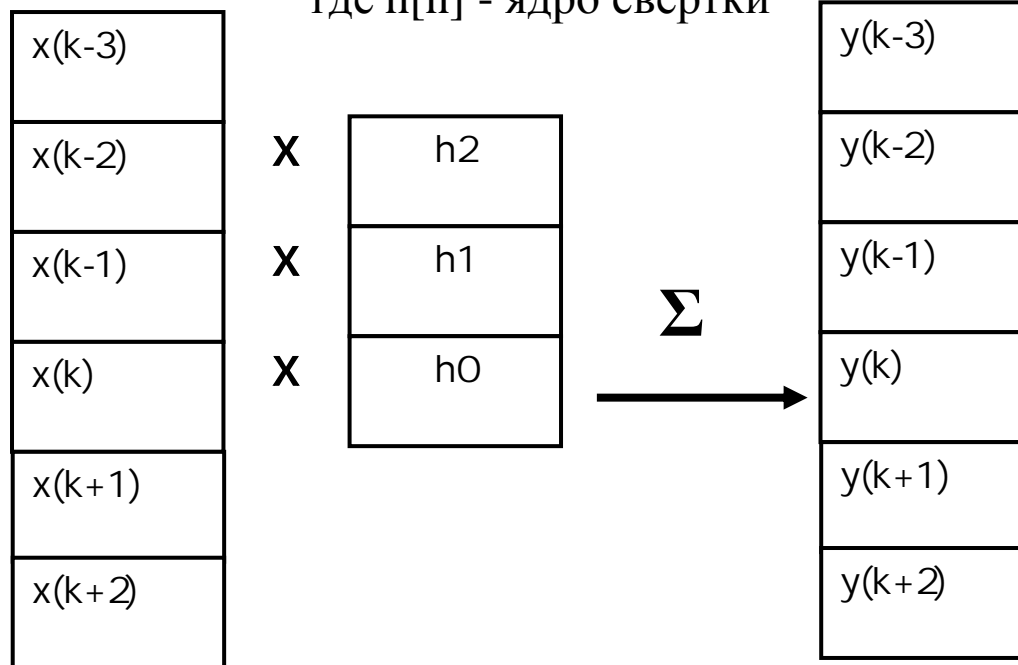
$x[n+1]*h[1]$

$y[n]$

## Понятие свертки (convolution) :

$$y(n) = \sum_k h(k)x(n-k)$$

где  $h[n]$  - ядро свертки



Для операции свертки характерны следующие основные свойства:

1. Дистрибутивность:  $h(t) * [a(t)+b(t)] = h(t) * a(t)+h(t) * b(t)$ .
2. Коммутативность:  $h(t) * a(t) * b(t) = a(t) * b(t) * h(t)$ .
3. Ассоциативность:  $[a(t) * b(t)] * h(t) = h(t) * a(t) * b(t)$ .



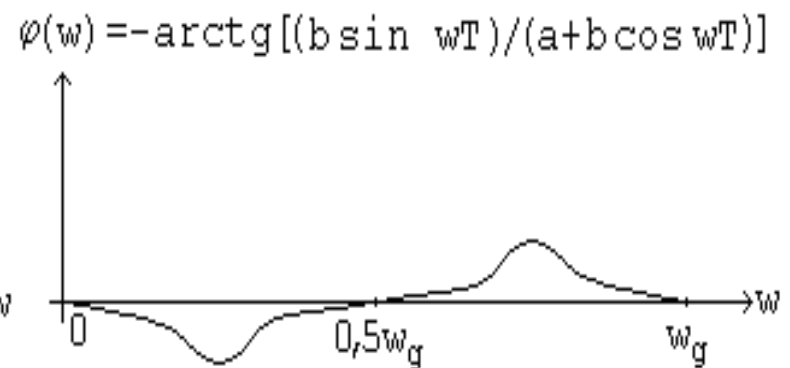
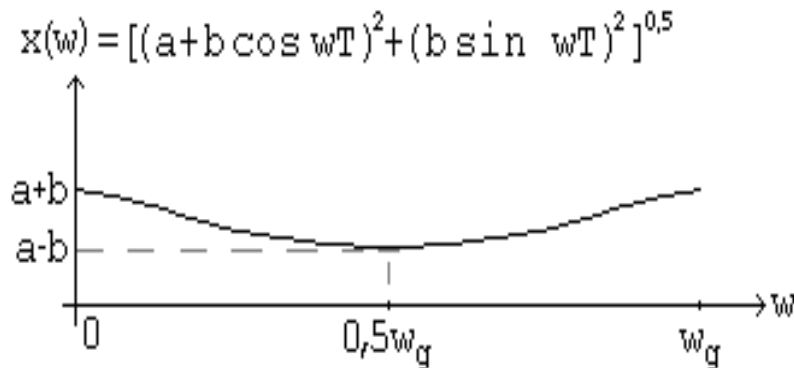
# Z-преобразование

$$e^{j\omega T} = Z$$

$$Z = e^{j\omega T}$$

## Пример.

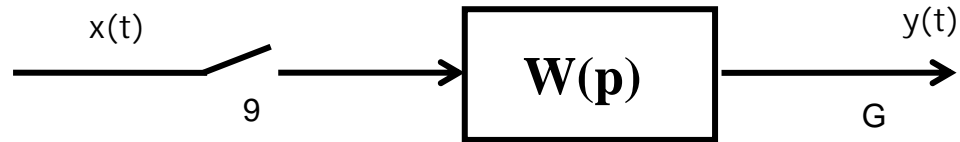
Определить спектр и построить графики модуля и аргумента спектральной плотности сигнала  $x(nT) = \{a ; b\}$



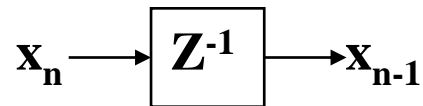




# Структурные схемы цифровых фильтров



**Физический смысл умножения на  $Z$  в цифровой фильтрации означает сдвиг на один интервал дискретизации:**



**Для цифровой фильтрации:  $y(n) = \sum b_k x(n-k)$ ,**

**Интервал  $(0-K)$  оператора получил название "окна" фильтра**

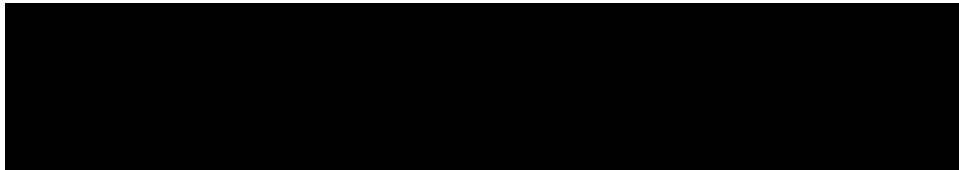
# Алгоритмы получения дискретной передаточной функции

## Алгоритм 1.

— стандартная форма для дискретных передаточных функций.

Алгоритм 2. — разложение передаточных функций на множители

Алгоритм 3. — разложение



передаточных функций на элементарные дроби вида













# ОБРАБОТКА ИЗОБРАЖЕНИЙ

**Изображение** - функция двух вещественных переменных  $I(x,y)$ ,  
где  $I$  –интенсивность (яркость) в точке с координатами  $(x,y)$ .

**Цели обработки:** *Image Processing* ± улучшение качества изображения  
*Image Analysis* ± проведение измерений на изображении  
*Image Understanding* ± распознавание образов

**Задачи обработки:** Дискретизация, квантование и кодирование изображений  
Геометрические преобразования изображений  
Фильтрация изображений  
Препарирование изображений









При линейном контрастировании используется линейное поэлементное преобразование вида:

где параметры **a** и **b** определяются желаемыми значениями минимальной  $y_{\min}$  и максимальной  $y_{\max}$  выходной яркости.

Решив систему уравнений:

относительно параметров преобразования, получаем:

$$y = \frac{x - x_{\min}}{x_{\max} - x_{\min}} (y_{\max} - y_{\min}) + y_{\min}$$

При  $y_{\min} = 0$  и  $y_{\max} = 255$



## 1.2. Соляризация изображения

При данном виде обработки поэлементное преобразование имеет вид:

где  $x_{\max}$  - максимальное значение исходного сигнала, а  $k$  – константа.

### **Смысл соляризации:**

- участки исходного изображения, имеющие уровень белого после обработки имеют уровень черного,
- участки исходного изображения, имеющие уровень черного, сохраняют уровень черного,
- участки исходного изображения, имеющие средний уровень яркости (серый), на выходе приобретают уровень белого.

















# Гомоморфная обработка изображений

Принцип суперпозиции  
для линейных систем:

где  $H$  – преобразование, осуществляемое системой;  
 $S_1(t)$ ,  $S_2(t)$  – преобразуемые сигналы;  
 $C$  – постоянный множитель

Преобразование однозначно и обратимо.  
Обработка изоморфная.

Обобщенный принцип  
суперпозиции:

Преобразование однозначно и необратимо.  
Обработка гомоморфная.

Например, операция квадрирования  $H[s(t)] = [s(t)]^2$





# Гомоморфная обработка мультипликативного сигнала



Характеристическая система гомоморфной системы  $D$ , должна иметь логарифмическую характеристику:

Сигнал на выходе системы  $D$ :

$$x(t) = \log[s(t)] = \log[s_1(t) \cdot s_2(t)] = \log[s_1(t)] + \log[s_2(t)] = x_1(t) + x_2(t)$$

Сигнал на выходе системы  $D^{-1}$ :









# Преобразование Фурье изображений

Преобразование Фурье одномерных сигналов:

- прямое

- обратное

Преобразование Фурье двумерных сигналов

- прямое

- обратное

# Спектр Фурье изображения

# **Программная реализация гомоморфной фильтрации для обработки изображений**

# Способы описания объектов

## 1 Списки признаков

(Выявление качественных характеристик объекта и построение характеризующего вектора)



Принадлежность к

классу:

Y1 - ?

Y2 - ?

Y3 - ?

Y4 - ?

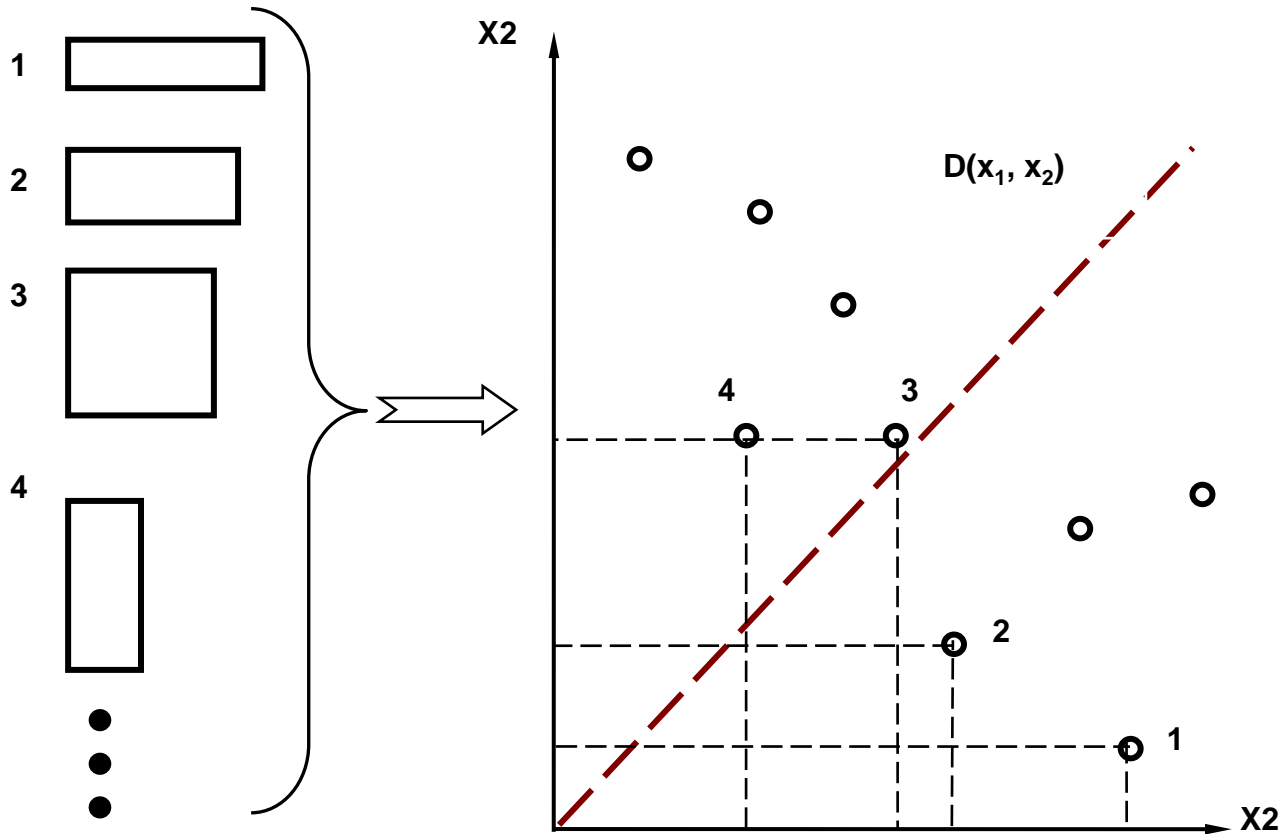
Y5 - ?

## 2 Структурное описание

(Выявление структурных элементов объекта и определение их взаимосвязи)

### 3 Описание в евклидовом пространстве

(Объекты представляются точками в евклидовом пространстве их вычисленных параметров)





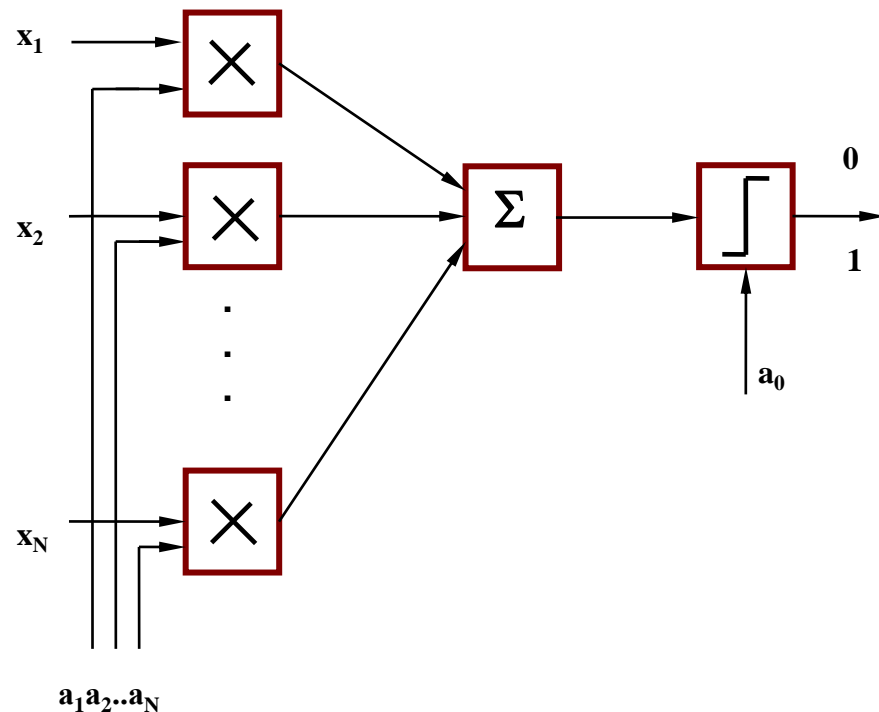




# Персептрон Розенблатта

$$D(x) = ax = \sum_{i=1}^N a_i x_i \begin{cases} > 0, x \in S_1, \\ < 0, x \in S_2 \end{cases}$$

где  $x$  – вектор признаков (обучающий вектор),  
 $S_1, S_2$  – классы обучающей выборки,  
 $a_i$  – веса признаков



**Задача решается если обучающие выборки двух классов линейно разделимы.**



# Кластерный анализ

(самообучение, обучение без учителя, таксономия)

**Кластерный анализ – совокупность математических методов, предназначенных для формирования относительно "отдаленных" друг от друга групп "близких" между собой объектов по информации о расстояниях или связях (мерах близости) между ними. Причем внутри групп объекты должны быть тесно связаны между собой, объекты разных групп должны быть далеки друг от друга**

**Форма представления исходных данных**

**Расстояние между признаками (мера близости)**

**Обычное Евклидово расстояние:**

**“Взвешенное” Евклидово расстояние:**

**Хеммингово расстояние:**

$$\rho_o(x_i, x_j) = \sum |x_i - x_j|$$





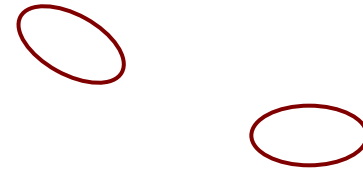
**Матрица расстояний:**

$$R_1 = \{\rho(x_i, x_j)\} = \begin{pmatrix} 0 & 2,24 & 3 & 5,10 & 6,08 & 5,83 \\ 2,24 & 0 & 1,41 & 5 & 5,83 & 6,40 \\ 3 & 1,41 & 0 & 6,40 & 7,21 & 7,81 \\ 5,10 & 5 & 6,40 & 0 & 1 & 2 \\ 6,08 & 5,83 & 7,21 & 1 & 0 & 2,24 \\ 5,83 & 6,40 & 7,81 & 2 & 2,24 & 0 \end{pmatrix}$$

**После объединения 4 и 5:**

**Расстояние между кластерами:**

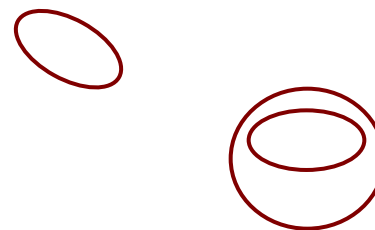
**Тогда матрица расстояний:**



**После объединения 2 и 3:**

**Расстояние между кластерами:**

**Тогда матрица расстояний:**



**После объединения (4,5) и 6:  $S(1)$ ,  $S(2,3)$ ,  $S(4,5,6)$**

**Расстояние между кластерами:**

**Тогда матрица расстояний:**

